

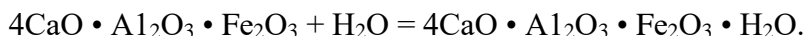
Lego G'ishtni Ishlab Chiqarishda Qo'Llanilgan Materiallar Xususiyatlari Tadqiq Qilish

Raximov Raximboy Atajonovich¹, Askarov Xasanjon Abduqaxorovich²,
Qaxramonov Behruz Baxtiyor o'g'li³

Annotatsiya: Ushbu maqolada qorishmani ishlab chiqarish texnologiyasi va xom ashyo tarkibi, issiqlik o'tkazuvchanlik va xom ashyonи turlari haqida yozilgan.

Kalit so'zlar: oksidlanish, konstruksiyalari, ishlab chiqarish, texnologiyassaralash, g'isht, texnologiyasi, mashina, tadqiqotlar, afzalligi, issiqlik o'tkazuvchanlikni hisoblash nazaryasi, tosh materiallari turlari.

Qorishma tarkibidagi mayda to'ldiruvchilar miqdori oshgan sari lego g'ishtning zichligi oshadi, Olib borilgan eksperimental tadqiqotlar natijasiga ko'ra sanoat chiqindilari tarkibida CaO, MgO, SiO₂, MnO, Al₂O₃, P₂O₅, ba FeO + Fe₂O₃ oksidlari mavjudligi aniqlandi. Ushbu xom ashyo tarkibidagi oksidlar qotish jarayoniga va normal sharoitda biriktiruvchi xususiyatlarining namoyon bo'lishiga ta'sir qiladi. Oksidlarning faoliyat koeffitsienti materialning sifatini bog'lovchi moddalar ishlab chiqarish uchun xom ashyo sifatida foydalanishga yaroqliligi haqida aniq baho berishga imkon beradi.

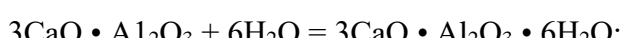


Xom ashyo turiga, atrof-muhit ta'siriga, haroratga, bog'lovchi moddalarining qotish vaqtini va qotish sharoitlariga qarab, g'ovakbetonning tarkibi, tuzilishi va bog'lash xususiyatlaridan farq qiluvchi turli xil neoplazmalar paydo bo'lishi mumkin.

Lego tarkibida mavjud bo'lgan sanoat chiqindilari qo'llanilgan kvars qumining mayda zarralari sementning strukturasini shakllantirish jarayonlarida faol ishtirot etib, hosil bo'lgan g'ishtlarning mustahkamligini oshirishga yordam beradi.

Portlandsement zarralari suv bilan aralashtirilganda, karbonat kalsiy bilan plomba moddalarining mayda donalari birgalikda yaxlit bo'lgan zarralar hosil qiladi. Bu ta'sir natijasida kontakt zonalarida mustahkam bo'g'inlar paydo bo'lishiga olib keladi.

Portlandsementning qotish jarayoni aluminatlar va kalsiy alyuminatlar hamda ferritlarni gideratsiyalanishining juda murakkab fizik-kimyoviy jarayonidir. Cement suv bilan aralashtirilganda, eriydigan asosiy minerallar quyidagi tenglamalar bo'yicha gideratlanadi:



Lego g'isht namunalarining g'ovakliligi va yacheykali tarkibini aniqlash hamda g'ovaklarining strukturasini to'liq o'rghanish uchun ushbu bosqichida tadqiqot ishining rentgenogramma tahlili o'tkazildi.

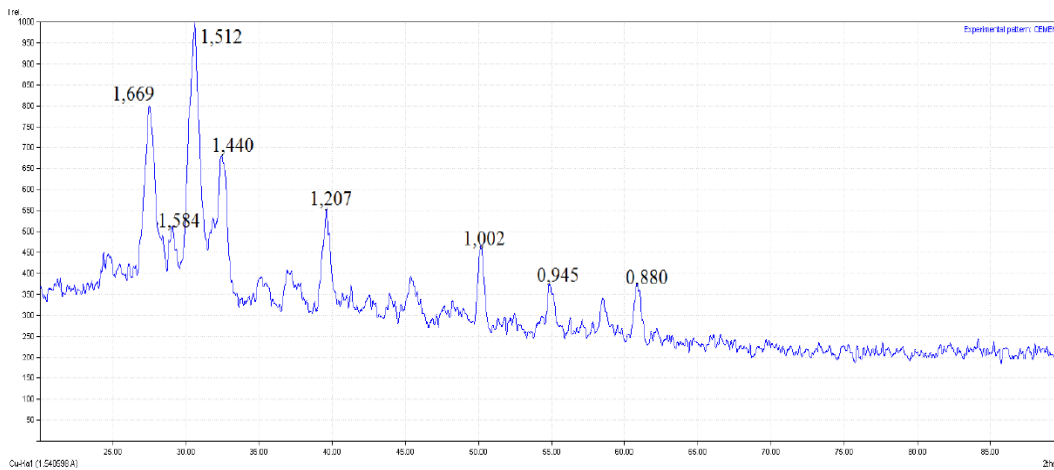
Sementning fazaviy tarkibida paydo bo'lgan o'zgarishlarni aniqlash uchun rentgenogrammalar tahlili o'tkazildi.

¹ Urganch davlat universiteti professori

² Andijon iqtisodiyot va qurilish instituti Katta o'qituvchi

³ 114-22 guruh talabasi



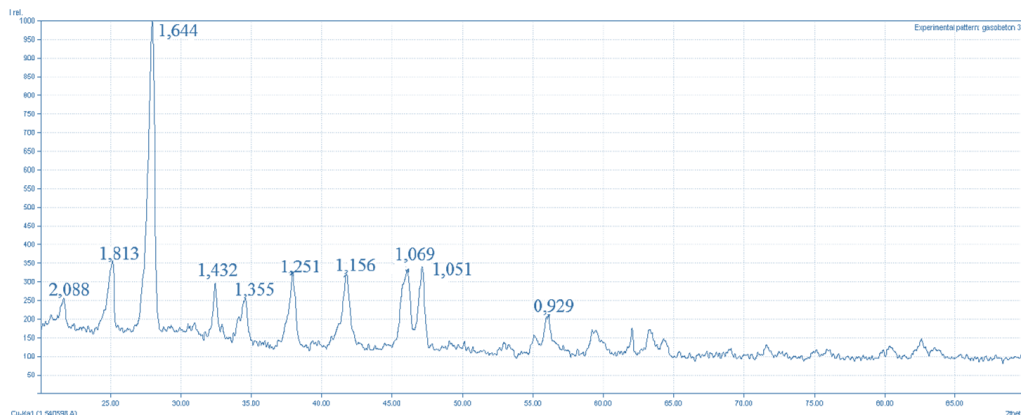


10-rasm. Sementdan hosil qilingan lego g'ishtning rentgenogrammasi

Olingan rentgen tahlillari shuni ko'rsatdiki, portlandsement tarkibida tegishli kimyoviy moddalar quyidagi fazalarda mavjudligi aniqlandi: kremniy oksidi ($d, nm = 1,669; 1,512 \text{ \AA}$) SiO_2 ; temir dioksidi ($d, nm = 1,440 \text{ \AA}$) Fe_2O_3 ; oltingugurt (VI) oksidi ($d, nm = 1,584; 0,945 \text{ \AA}$) SO_3 ; kalsiy oksidi ($d, nm = 1,207; 1,002 \text{ \AA}$) CaO ; natriy oksidi hamda alyumin oksidi ($d, nm = 0,880 \text{ \AA}$) $\text{Na}_2\text{OAl}_2\text{O}_3$.

Ushbu fazalar bog'lovchinining reaksiyalanishuviga, fizik-mexanik xossalariiga uzoq muddat xizmat qilishi va tashqi ta'sirlarga chidamliligini oshishiga xizmat qiladi.

Sementning kimyoviy tarkibiga o'xshash bo'lgan temir eritish shlakining kimyoviy tarkibi rentgenogrammalarning tahlili asosida aniqlandi. (11-rasm)



11-rasm. Marmor granitni maydalangan kukuni yordamida tayyorlangan lego g'ishtning kimyoviy o'zgarishing rentgen-strukturaviy tahlili

Marmor granitni maydalangan qo'llanilgan lego g'ishtning tarkibi kalsiy silikat gidratatsiya mahsulotlarini o'z ichiga oladi: $3\text{CaO} \cdot \text{SiO}_2 \cdot 2\text{H}_2\text{O}$ ($d, nm = 2,088 \text{ \AA}$), gidrolit $2\text{CaO} \cdot 3\text{SiO}_2 \cdot \text{H}_2\text{O}$ ($d, nm = 1,432 \text{ \AA}$). Kristallardan iborat bo'lgan kimyoviy andraditlar $\text{Ca}_3\text{Fe}_2(\text{SiO}_4)_2$ ($d, nm = 1,644 \text{ \AA}$) ba Ca₃Al₂(SiO₄)₃ ($d, nm = 1,156 \text{ \AA}$) oksid fazalari aniqlandi.

Shuningdek, quyidagi kimyoviy oksid fazalari ham mavjud:

Kalsit CaCO_3 ($d, nm = 1,35 \text{\AA}$);

Glaukonit (K, H₂O) $(\text{Fe}_3\text{Al}, \text{Fe}_2\text{Mg})_2 [\text{Si}_3\text{AlO}_{10}] (\text{OH})_2 \times n\text{H}_2\text{O}$ ($d, nm = 1,251 \text{ \AA}$);

brusterit $\text{Ca}(\text{Al}_2\text{Si}_6\text{O}_{16}) 5\text{H}_2\text{O}$ ($d, nm = 1,069 \text{ \AA}$);

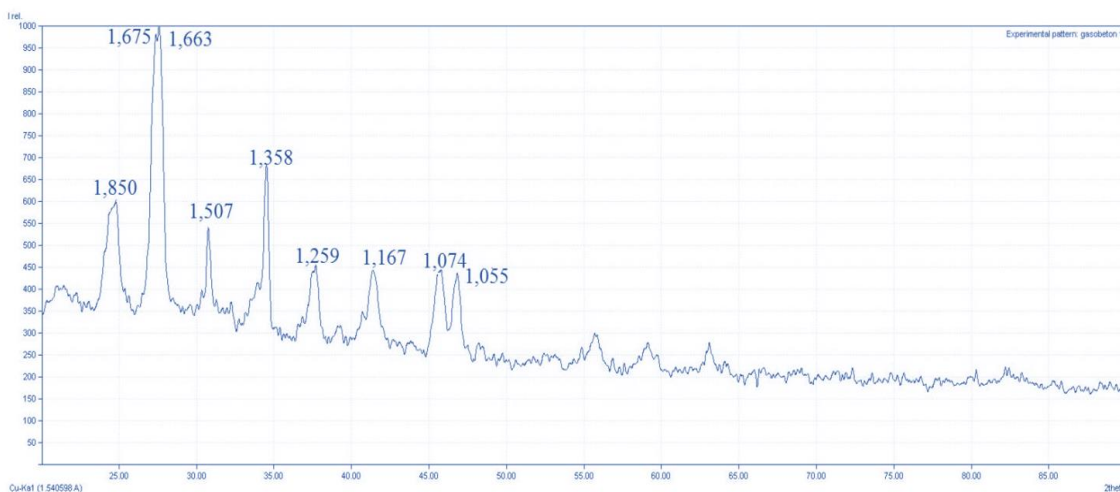
anal sim $\text{Na}(\text{AlSi}_2\text{O}_6)\text{H}_2\text{O}$ ($d, nm = 1,051 \text{ \AA}$);

margansoviy kalsit (Ca, Mn) CO₃ ($d, nm = 0,929 \text{ \AA}$).



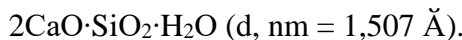
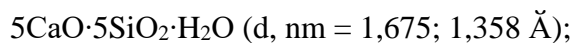
Ushbu aniqlangan fazalar marmar granit maydalanib qo'llanilgan lego g'ishlarining fizik-mexanik xossalari yaxshilanishiga olib keladi.

Maxalliy chiqindi kvars qumi va marmar granit yordamida hosil qilingan lego g'isht konstruksiyalarining rentgenogrammalari 12-rasmda keltirilgan.



12-rasm. Sanoat chiqindi kvars qumi va temir eritish shlaki yordamida hosil qilingan lego g'ishtning rentgenogrammasi.

Olingan rentgenogramma natijalari shuni ko'rsatadiki mahalliy chiqindi kvars qumi asosidagi glego g'isht namunalarida mikrostrukturaviy zarrachalarga ega bo'lgan kalsiy silikatlarining gindratsiya mahsulotlari aniqlandi:



Kalsiy aluminatlar va alumunoferritlari gindratsiya mahsulotlaridan tashkil topgan lego g'isht quyidagi fazalarini o'z ichiga oladi:

ettringit $3\text{CaO} \cdot \text{Al}_2\text{O}_3 \cdot 3\text{CaSO}_4 \cdot \text{H}_2\text{O}$ (d, nm = 1,850 Å);

kalsiy gidroalyuminat $3\text{CaO} \cdot \text{Al}_2\text{O}_3 \cdot 6\text{H}_2\text{O}$ (d, nm = 1,167 Å).

Granat kristal-kimyoiy guruhining fazasi $\text{Fe}_3\text{Al}_2(\text{SiO}_4)_3$ (d, nm=1,259 Å), tegishli g'ovaklardan tashkil topgan mayda fazalarini quyidagilardan iborat:

montmorillonit $\text{Al}_2[\text{OH}]_2 \cdot (\text{Si}_4\text{O}_{10}) \cdot n\text{H}_2\text{O}$ (d, nm = 1,074 Å);

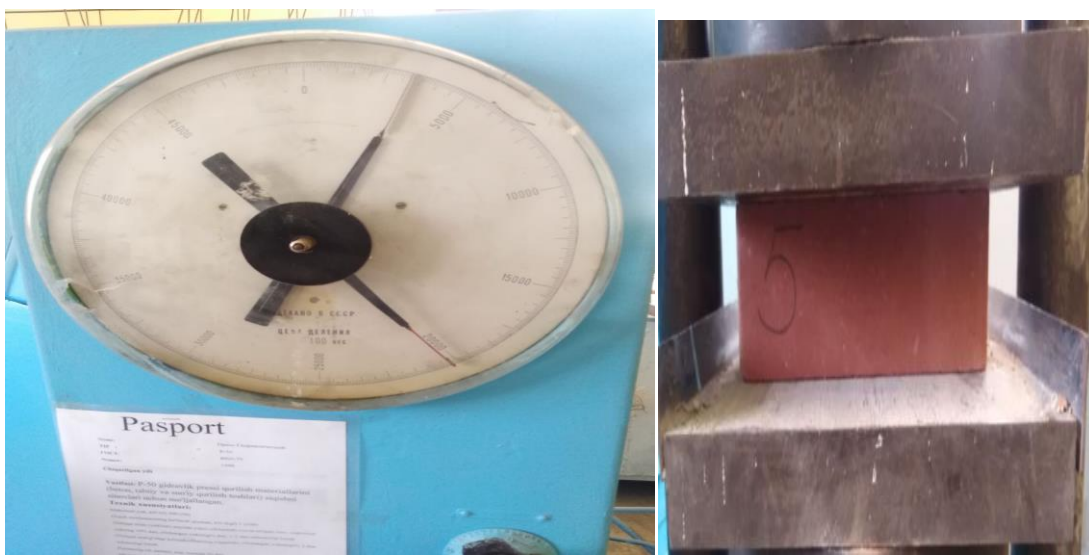
kaolinit $\text{Al}_2(\text{OH})_4 \cdot (\text{Si}_2\text{O}_5)$ (d, nm = 1,055 Å).

Tadqiqot ob'ektlari sifatida qorishmani hosil qilish uchun xomashyoning tarkibi, qorishmaning quyuqligi va namunani saqlash sharoiti kabi texnologik omillarning ta'siri o'rganilgan. 12-rasm



12 - rasm. a) chiqindi tosh, b) marmar granit

Ushbu tarkiblar orqali lego g'ishtning kimyoviy xossalari o'zining fizik-mexanik xususiyatlarini yaxshilanishiga xizmat qiladi hamda uning umrboqiyligi, olovbardoshligi, muzlashga chidamligi, inson salomatligiga ta'siri kabi xususiyatlarini mustaxkamlanishiga olib keladi. 13-rasm



13-rasm T50 Gidravlik press laboratoriya qurilmasi

Maxalliy chiqindisi asosidagi namunalar strukturasining tahlili shuni ko'rsatdiki, barcha konstruksiyalarda chiqindi kvars qumi qo'shilgan lego g'isht bir tekis taqsimlangan g'ovakli tuzilishga ega, bu lego g'ishtning xususiyatlariiga, shu jumladan issiqlik o'tkazuvchanligiga ijobjiy ta'sir ko'rsatadi. Shuning uchun tadqiqot ishining keyingi vazifasi ushbu konstruksiyalarning issiqlik o'tkazuvchanligini tadqiq etishdan iborat.

Issiqlik o'tkazuvchanlik koeffitsientlari lego g'ishtlarining tanlangankonstruksiyalaridan $75 \times 125 \times 250$ mm mm o'lchamdagи namunalar tayyorlandi. Issiqlik o'tkazuvchanligi "Qurilish issiqlik texnikasi" me'yoriy qoidalari asosida nazariy hisob-kitoblar bo'yicha aniqlandi.

Maxalliy chiqindisi asosidagi lego g'ishtning issiqlik o'tkazuvchanlik koeffitsienti natijalari 1.5-jadvalda keltirilgan.

1.5-jadval Issiqlik o'tkazuvchanlik koeffitsienti

Lego g'isht tarkibi	Зичлиги, кг/м ³	λ , Вт/м*°C 1 намуна	λ , Вт/м*°C 2 намуна	λ , Вт/м*°C 3 намуна
Ishlab chiqarish tashkiloti tarkibi bo'yicha tayyorlangan lego g'isht	667	0,1415	0,1395	0,144
	656	0,143	0,143	0,1415
	662	0,145	0,144	0,1435
Maxalliy chiqindi kalsiy silikat asosidagi lego g'isht	652	0,139	0,138	0,142
	658	0,141	0,139	0,141
	660	0,1425	0,142	0,145
Temir eritish shlaki asosidagi silikat g'isht	650	0,14	0,143	0,142
	648	0,142	0,145	0,144
	646	0,1435	0,146	0,145
Sanoat chiqindi kvars qumi va shlaki asosidagi lego g'isht	662	0,141	0,145	0,143
	664	0,143	0,141	0,142
	663	0,1445	0,146	0,147

Birinchisida (chiqindi granit marmar qumi), ikkinchisida (temir eritish shlaki) va uchinchisida (chiqindi kvars qumi va shlaki) sanoat chiqindilari bilan D600 markali zichlik ko'rsatkichlari 650-664 kg/m³ bo'lgan lego g'isht olindi.



ADABIYOTLAR

1. Asqarov, X. A., Asqarova, M. B. Q., & Axmadaliyev, USO (2021). Bino va inshoatlarni qurishda g'ishtlarning tahlili. *Ilmiy taraqqiyot*, 1 (6), 1112-1116.
2. Asqarov, X. A., Egamberdiyeva, S. A., Maxmudov, S. M. (2022 yil, noyabr). "LEGO" G 'ISHT ISHLAB CHIQARISH TEXNOLOGIYASI. 21-asrda innovatsion ta'limning o'rni va ahamiyatiga bag'ishlangan xalqaro konferensiyada (1-jild, №7, 102-106-betlar).
3. Asqarov, X. va Mamajonov, M. (2023). Inshoot va binolarga zilzila ta'siri yuklar tahlili. *Oltin miya*, 1 (6), 12-14.
4. Askarov, X. (2023). SILIKAT MATERIALLARDAN TAYORLANGAN G 'ISHTLARDAN BINO INSHOOTLARINI QURISH TAHLILI. *GOLDEN BRAIN*, 1(8), 162-164.
5. Askarov, X., & Qodirova, G. (2023). ALABASTR VA GIPS QURILISHDA QO 'LLASH XUSUSIYATLARI TAHLILI. *GOLDEN BRAIN*, 1(5), 55-58.
6. Mirzayev, B. O., & Askarov, X. (2023). METHODS FOR CALCULATING BRICK CONSUMPTION WHEN BUILDING WALLS FROM SILICATE AND CERAMIC BRICKS. *Ethiopian International Journal of Multidisciplinary Research*, 10(08), 1-14.
7. Asqarov, X., & Zokirjonov, A. (2023). MAHALLIY CHIQINDI TOSHLARDAN LEGO G'ISHT ISHLAB CHIQARISH TEXNOLOGIYASINI. *BARQARORLIK VA YETAKCHI TADQIQOTLAR ONLAYN ILMUY JURNALI*, 3 (10), 40-43..
8. Raximov, R. A., Asqarov, X., & Zokirjonov, A. (2023). MAHALLIY CHIQINDI TOSHLARDAN PRESS USULIDA KONSTRUKTIV MUSTAXKAMLIKKA EGA BO'LGAN G'ISHT ISHLAB CHIQARISH TEXNOLOGIYASI. *ARXITEKTURA, MUHANDISLIK VA ZAMONAVIY TEXNOLOGIYALAR JURNALI*, 2 (9), 11-15.
9. Asqarov, X. A., Egamberdiyeva, S. A., Maxmudov, S. M. (2022 yil, noyabr). "LEGO" G 'ISHT ISHLAB CHIQARISH TEXNOLOGIYASI. 21-asrda innovatsion ta'limning o'rni va ahamiyatiga bag'ishlangan xalqaro konferensiyada (1-jild, №7, 102-106-betlar).
10. Asqarov, X. va Qodirova, G. (2023). ALABASTR VA GIPS QURILISHDA QO 'LLASH XUSUSIYATLARI TAHLILI. *OLTIN MIYA*, 1 (5), 55-58.
11. Askarov, X. A., & Maxmudov, S. M. (2022, November). QURILISH SANOATIDA KERAMZIT BETON TO 'SQICHLAR TAYYORLASH INNOVATSION TEXNOLOGIYASI. In *INTERNATIONAL CONFERENCES* (Vol. 1, No. 10, pp. 99-102).
12. X, F., Sh, R., Tashtanova, M., Yalgashev, O., & Adkhamova, G. (2019). Fosfogipsning qurilish xususiyatlari, to'g'onlarni o'rab turgan loy qoldiqlari uchun material sifatida. *Fan, muhandislik va texnologiya sohasida ilg'or tadqiqotlar xalqaro jurnali*, 6 (7), 10270-10277.
13. Tojiboyev, B. T., & qizi Askarova, M. B. (2023). ARCHITECTURE AND LANDSCAPE OF FERGANA CITY. *GOLDEN BRAIN*, 1(13), 403-408.
14. Tojimatovich, K. I., Abdukahorovich, A. H., & Behruz, K. (2024). VINEGAR ACID REGENERATION MAKING COLUMN APPARATUS PLATES MODERNIZATION. *American Journal of Technology and Applied Sciences*, 21, 53-55.
15. Abduqaxorovich, A. X., Tojimatovich, K. I., & Islomiddin, I. (2024). CONSTRUCTIVE ANALYSIS OF PLATE COLUMNS. *American Journal of Technology and Applied Sciences*, 21, 49-52.

